

Wstęp do Optyki i Fizyki Materii Skondensowanej

Część I: Optyka, wykład 3

wykład: Piotr Fita
pokazy: Andrzej Wysmołek
ćwiczenia: Anna Grochola, Barbara Piętka

Wydział Fizyki
Uniwersytet Warszawski

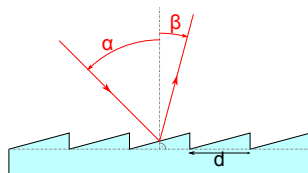
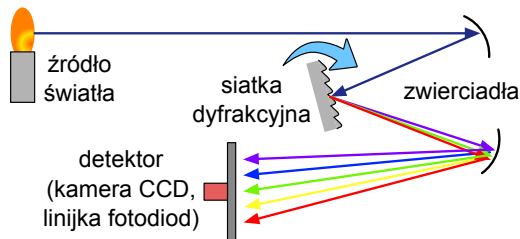
2013/14

Plan

- 1 Pomiary widma
- 2 Kształty linii
- 3 Spektroskopia subdopplerowska

Pomiar widma światła

Spektrometr siatkowy



[Wikimedia Commons]

Interferencja konstruktywna:

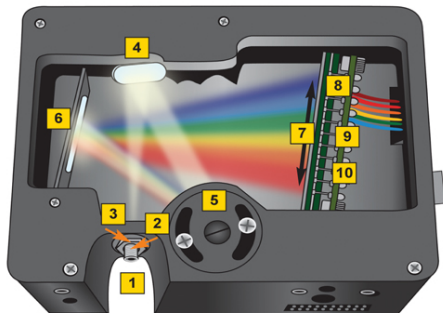
$$d(\sin \alpha - \sin \beta) = m\lambda$$

m - rząd interferencji

Pomiar widma światła

Spektrometr siatkowy

Praktyczna realizacja miniaturowego spektrometru
(Ocean Optics)

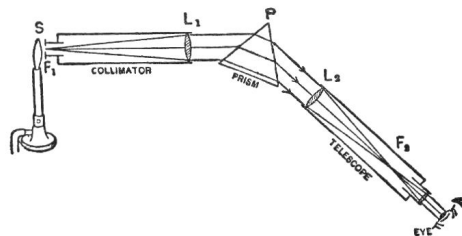


[Ocean Optics]



Pomiar widma światła

Spektrometr pryzmatyczny



Współczynnik załamania pryzmatu zależy od długości fali

$$n = n(\lambda)$$

Dlaczego? O tym na kolejnych wykładach

[Wikimedia Commons]

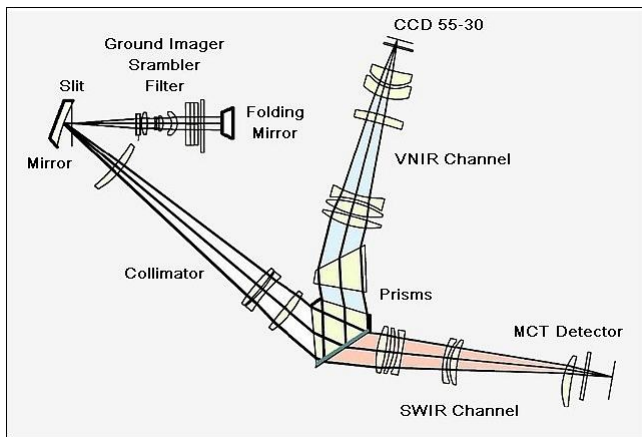


[<http://vuihocly.freevnn.com>]

Spektrometr pryzmatyczny wspólnie

Projekt APEX

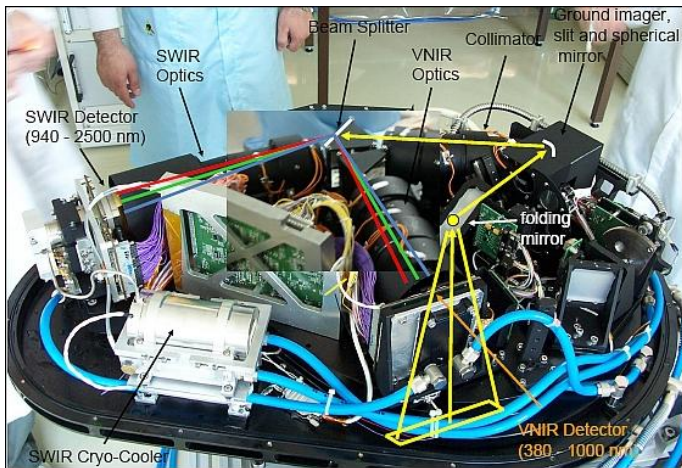
Szerokopasmowy spektrometr do obserwacji ziemi z przestrzeni kosmicznej, pracujący w zakresie widzialnym (380-970 nm) i podczerwieni (940-2500nm), o rozdzielczości przestrzennej 2-5 m (projekt Europejskiej Agencji Kosmicznej)



[eoPortal Directory, APEX consortium]

Spektrometr pryzmatyczny wspólnie

Projekt APEX



[eoPortal Directory, APEX consortium]

Naturalna szerokość linii

Liczba przejść spontanicznych:

$$dN_{21} = A_{21} N_2 dt \quad (1)$$

Liczba atomów w stanie wzbudzonym:

$$N_2(t) = N_{20} e^{-A_{21} t} = N_{20} e^{-t/\tau} \quad (2)$$

Czas życia stanu wzbudzonego: $\tau = A_{21}^{-1}$

Kształt linii widmowej:

$$\tilde{I}(\omega) = \frac{I_0}{(\omega - \omega_0)^2 + (A_{21}/2)^2} \quad (3)$$

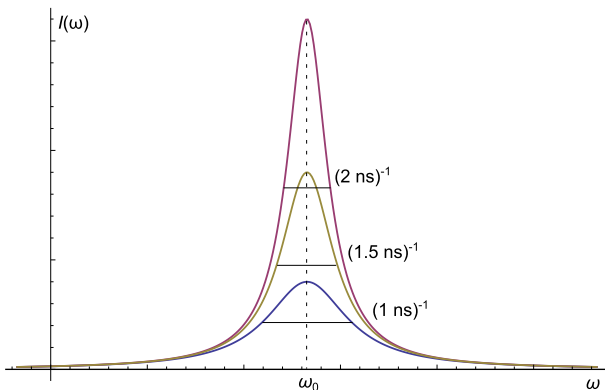
(Szczegóły - na tablicy)

Profil Lorentza

Szerokość połówkowa profilu Lorentza:

$$\Delta\omega = A_{21} = \tau^{-1}$$

(Zasada nieoznaczoności)



Poszerzenie zderzeniowe

Zderzenia są dodatkowym czynnikiem tłumiącym (Γ):

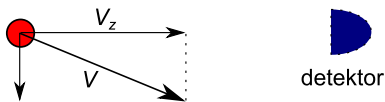
$$A_{21} \rightarrow A_{21} + \Gamma$$

Ma znaczenie, gdy $\Gamma > A_{21}$ (dużo zderzeń = wysokie ciśnienia)

Widmo linii poszerzonej zderzeniowo:

$$\tilde{I}(\omega) = \frac{I_0}{(\omega - \omega_0)^2 + \left(\frac{A_{21} + \Gamma}{2}\right)^2}$$

Poszerzenie dopplerowskie



Dopplerowskie przesunięcie częstości:

$$\omega = \omega_0 \left(1 + \frac{v_z}{c} \right)$$

Maxwellowski rozkład składowej prędkości w kierunku z:

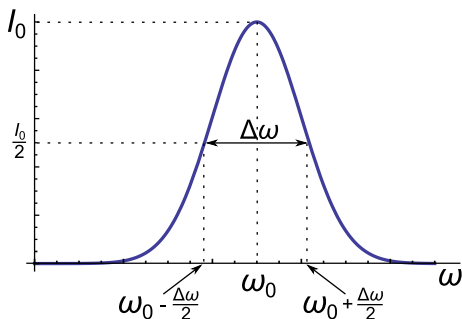
$$n_i(v_z)dv_z = \frac{N_i}{\sqrt{\pi}v_p} \exp \left[- \left(\frac{v_z}{v_p} \right)^2 \right]$$

v_p - prędkość najbardziej prawdopodobna, $v_p = \sqrt{2kT/m}$

Poszerzenie dopplerowskie

Kształt linii emisyjnej:

$$I(\omega) = I_0 \exp \left[- \left(\frac{c(\omega - \omega_0)}{v_p \omega_0} \right)^2 \right]$$



Całkowita szerokość półowkowa:

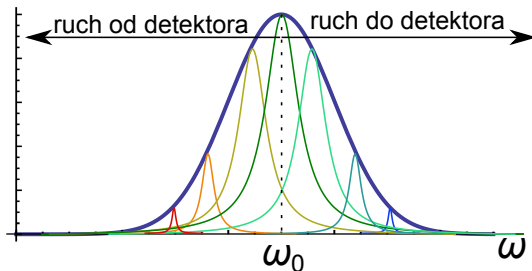
$$\Delta\omega = \omega_0 \frac{2\sqrt{\ln 2}}{c} v_p = \omega_0 \sqrt{\frac{8kT \ln 2}{mc^2}}$$

(Szczegóły - na tablicy)

Rzeczywisty kształt linii widmowej gazu

Profil Voigta

Szer. naturalna ($1 \cdot 10^7$ Hz) \ll szer. dopplerowska (10^9 Hz)



Kształt linii = splot profilu Dopplera $D(\omega)$ i Lorentza $L(\omega)$

$$I(\omega) = \int_{-\infty}^{\infty} D(\omega') L(\omega - \omega') d\omega'$$

Poszerzenie jednorodne i niejednorodne linii

Poszerzenie **jednorodne** - prawdopodobieństwo oddziaływania ze światłem o danej częstotliwości jest jednakowe dla wszystkich atomów (cząsteczek), np:

- poszerzenie naturalne
- poszerzenie ciśnieniowe

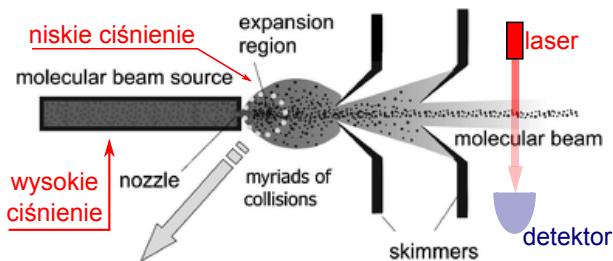
Poszerzenie **niejednorodne** - prawdopodobieństwo oddziaływania jest różne dla różnych grup atomów (cząsteczek):

- poszerzenie dopplerowskie - prawdopodobieństwo oddziaływania zależy od składowej prędkości w kierunku obserwatora

Poszerzenie niejednorodne można zredukować, np. selektywnie wzbudzając cząsteczki o określonej prędkości.

Spektroskopia subdopplerowska

Wiązki atomowe i molekularne

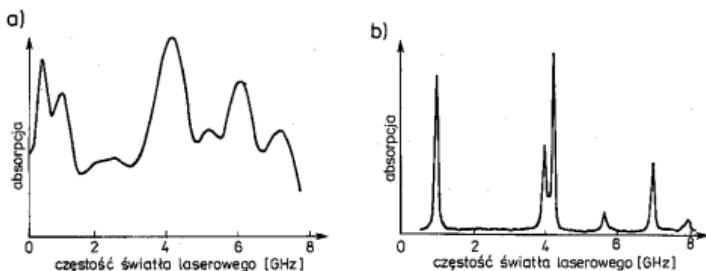


[V. Aquilanti et al, Phys. Chem. Chem. Phys., 2005,7, 291]

- rozprężanie gazu prowadzi do obniżenia temperatury
- selekcja przestrzenna wybiera cząsteczki (atomy) o \approx zerowej prędkości poprzecznej
- wiązka laserowa prostopadła do wiązki molekularnej (atomowej)
→ zredukowany efekt Dopplera

Spektroskopia subdopplerowska

Wiązki atomowe i molekularne

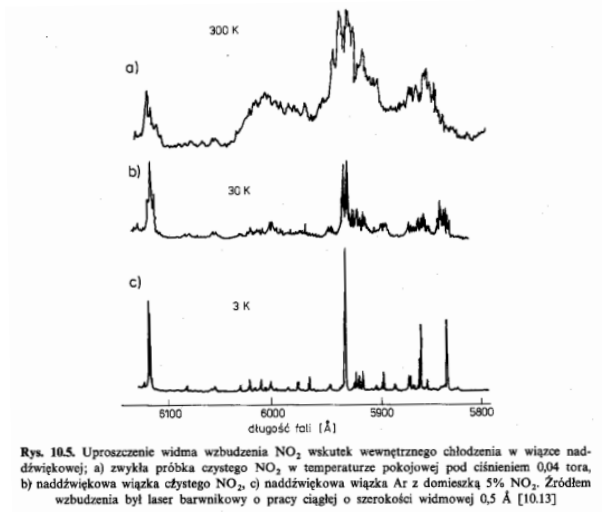


Rys. 10.3. Wycinek widma wzbudzenia cząsteczki Cs_2 w zakresie widmowym około $\lambda = 476,5$ nm
 a) uzyskanego w komórce z parami cezu, b) uzyskanego w skolimowanej wiązce cezuowej

[W. Demtroder, Spektroskopia laserowa, PWN]

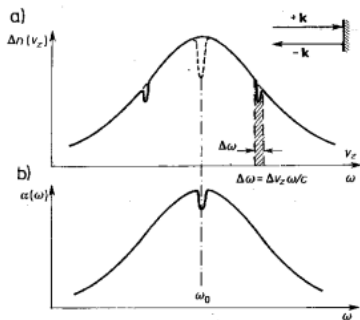
Spektroskopia subdopplerowska

Wiązki atomowe i molekularne



Spektroskopia nasyceniowa

Dip Lamba

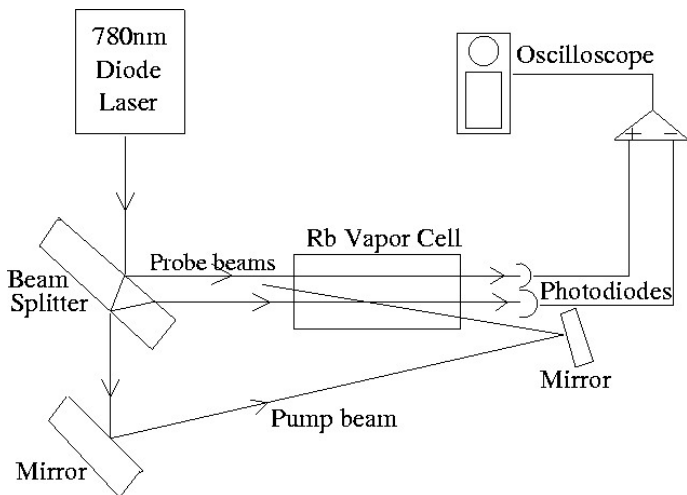


[W. Demtroder, Spektroskopia laserowa, PWN]

- Przeciwbieżne wiązki o $\omega \neq \omega_0$ wypalają w rozkładzie obsadzeń dwie symetryczne dziury (dla v_z i $-v_z$) - tzw. dziury Bennetta.
- Jeśli wiązka jest dostrojona dokładnie do przejścia ($\omega = \omega_0$) to powstaje jedna dziura w centrum profilu dopplerowskiego (dla $V_z = 0$) - tzw. **dip Lamba**
- Szerokość wypalonych dziur odpowiada szerokości naturalnej

Spektroskopia nasyceniowa

Pomiar widma absorpcji nasyceniowej



[<http://laser.physics.sunysb.edu>]

Spektroskopia nasyceniowa

Struktura nadsubtelna widma rubidu

